

УДК 577.113.3.017

СИНТЕЗ 1-[ω -(БРОМФЕНОКСИ)АЛКИЛ]-3-НАФТАЛЕНИЛМЕТИЛ-ПРОИЗВОДНЫХ УРАЦИЛА И ИХ АНАЛОГОВ КАК ВЕРОЯТНЫХ ИНГИБИТОРОВ РЕПЛИКАЦИИ ЦИТОМЕГАЛОВИРУСА ЧЕЛОВЕКА

© 2023 г. М. П. Парамонова¹, Е. С. Гуреева¹, А. А. Озеров¹, R. Snoeck², G. Andrei², Д. А. Александров³, А. Л. Хандажинская^{4,*}, М. С. Новиков¹, академик РАН С. Н. Кочетков⁴

Поступило 30.09.2022 г.

После доработки 05.10.2022 г.

Принято к публикации 05.10.2022 г.

Осуществлен синтез нового ряда 1-[ω -(бромфенокси)алкил]-производных урацила, содержащих в положении 3 остатка урацила нафтalen-1-ил-, нафтalen-2-ил-, 1-бромнафтalen-2-илметильный, бензильный и антрацен-9-илметильный фрагмент. Были изучены противовирусные свойства синтезированных соединений в отношении цитомегаловируса человека. Было обнаружено, что соединение, имеющее в своем составе мостик, состоящий из пяти метиленовых групп, обладает высокой анти-цитомегаловирусной активностью *in vitro*.

Ключевые слова: производные урацила, синтез, противовирусная активность, цитомегаловирус человека Список сокращений. HCMV – цитомегаловирус человека, ВИЧ – вирус иммунодефицита человека, СПИД – синдром приобретенного иммунодефицита, ДМФА – *N,N*-диметилформамид

DOI: 10.31857/S2686738922700044, EDN: MJOYWY

ВВЕДЕНИЕ

Вирусы являются причиной многих инфекционных заболеваний. Цитомегаловирус человека (HCMV), являющийся одной из наиболее распространенных причин инфекций человека, инфицирует Т-клетки и изменяет их ответ. Предполагается, что HCMV способствует развитию артериосклероза [1], иммунного старения [2], провоцирует воспалительные заболевания кишечника [3] и может содействовать развитию рака благодаря онкомодулирующему эффекту [4, 5]. Однако главное медицинское значение HCMV – это врожденная инфекция, которая вызывает у новорожденных потерю слуха, а также в некоторых случаях приводит к серьезным заболеваниям: микроцефалии, умственной отсталости, гепатосplenомегалии и тромботической тромбоцитопенической пурпуре [6]. Кроме того, врожденная

HCMV инфекция может привести к потере плода и смерти новорожденных [6, 7].

В настоящее время для лечения заболеваний, вызванных HCMV, применяются ингибиторы вирусной ДНК-полимеразы: ганцикловир, цидофовир и фоскарнет, а также их пролекарственные формы – валганцикловир и бринцидофовир [8]. Однако эти препараты вызывают множество побочных эффектов, которые включают токсическое воздействия на костный мозг (ганцикловир, валганцикловир и цидофовир) и почки (фоскарнет, цидофовир и бринцидофовир) [9, 10]. Кроме того, длительная терапия, проводимая при HCMV инфекции, может приводить к возникновению устойчивых вариантов HCMV [11]. Недавно были одобрены имеющие иной механизм действия лентермовир и нуклеозидный аналог марибавир в качестве средств для профилактики HCMV-инфекции у пациентов с трансплантацией аллогенных стволовых клеток [12, 13]. Однако, несмотря на низкую токсичность, их использование также приводило к появлению резистентных к лентермовиру и марибавиру вариантов HCMV [14]. По этой причине поиск новых высокоэффективных анти-HCMV агентов является важной и актуальной задачей.

Ранее нами была описана серия 1-[ω -(фенокси)алкил]-производных урацила, которые ингибировали репликацию HCMV в концентрациях, сравнимых с действием ганцикловира [15]. Введение в положение 3 пиридинового кольца

¹ Волгоградский государственный медицинский университет, Волгоград, Россия

² Rega Institute for Medical Research, KU Leuven, Herestraat 49 bus 1043, Leuven B-3000, Belgium

³ Федеральное государственное бюджетное учреждение науки Институт биоорганической химии им. М.М. Шемякина и Ю.А. Овчинникова Российской академии наук, Москва, Россия

⁴ Институт молекулярной биологии им. В.А. Энгельгардта Российской академии наук, Москва, Россия

*e-mail: khandazhinskaya@bk.ru

(4-феноксифенил)-ацетамидного фрагмента привело к усилению вирусингбиторных свойств [16]. В литературе были описаны 3-(3,5-диметилензил)-производные 1-бензил- и 1-(пиридинмethyl)урацила, проявляющие двойную активность как в отношении ВИЧ-1, так и в отношении HCMV [17, 18]. Недавно нами был обнаружен ряд 1-циннамил-производных урацила, содержащих при атоме азота N³ бензильный и нафтален-1-ilметильный заместители, которые также обладали активностью в отношении ВИЧ-1 и HCMV [19]. Также высокую анти-HCMV активность проявили производные 1-[5-(4-бромфенокси)пентил]урацила, которые имели при атоме азота N³ 3-(4-оксихиназолин-3(4H)-ил)пропильный [20] или 3-[4-метил-2-оксо-2H-хромен-7-ил)окси]пропильный заместитель [21].

В этой связи нами было сделано предположение о том, что наличие объемного заместителя у атома азота N³ пиримидинового кольца дает соединения, обладающие высокой активностью в отношении HCMV. В рамках этой гипотезы нами был осуществлен синтез ряда 1-[ω-(фенокси)алкил]-производных урацила, содержащих нафталенилметильный заместитель в положении 3 остатка урацила.

МАТЕРИАЛЫ И МЕТОДЫ

Все реагенты были получены от компаний Sigma-Aldrich и Acros Organics и были использованы без предварительной очистки.

Общий метод получения 3-арилметил-1-[ω-(бромфенокси)алкил]-производных урацила 11–19 и 22–24. Суспензию 1-[ω-(4-бромфенокси)алкил]-производного урацила 1–7 или 1-[5-(4-бромфенокси)пентил]хиназолин-2,4(1H,3H)-дион (25) (1.416 ммоль) и свежепрокаленного карбоната калия (0.3 г, 2.171 ммоль) перемешивали в растворе ДМФА (10 мл) при 80°C в течение 1 ч, охладили до комнатной температуры и добавили раствор бромметилнафтилина 8–10, бензилхлорида (20) или 9-(хлорметил)антраценом (21) (1.469 ммоль) в ДМФА (5 мл). Полученную смесь перемешивали при той же температуре в течение 24 ч, упарили при пониженном давлении и остаток обработали водой (80 мл). Смесь экстрагировали 1,2-дихлорэтаном (4 × 20 мл), объединенный экстракт упарили при пониженном давлении. Остаток очищали фланш-хроматографией на силикагеле, элюируя смесью этилацетат-1,2-дихлорэтан (1:1), фракции, содержащие продукт, объединяли и упарили в вакууме. Остаток кристаллизовали из смеси этилацетат-гексан (1:1). Целевые соединения 11–19, 22–24 были получены с выходами 74–89%.

1-[5-(4-Бромфенокси)пентил]хиназолин-2,4(1H,3H)-дион (25). Суспензию хиназолин-2,4(1H,3H)-диона (4.0 г, 24.67 ммоль) и свежепро-

каленного карбоната калия (0.86 г, 6.222 ммоль) перемешивали в растворе ДМФА (50 мл) при 80°C в течение 1 ч, добавили раствор 1-бром-4-[(5-бромпентил)окси]бензола (26) (1.99 г, 6.179 ммоль) в ДМФА (20 мл) и полученную смесь перемешивали при той же температуре в течение 24 ч. Реакционную массу упарили при пониженном давлении, остаток обработали водой (100 мл) и экстрагировали 1,2-дихлорэтаном (4 × 50 мл), объединенный экстракт упарили при пониженном давлении. Остаток нанесли на колонку с силикагелем и элюировали этилацетатом, фракции, содержащие продукт, объединяли и упарили в вакууме. Остаток кристаллизовали из смеси изопропанол-гексан (1:1). Получили 1.7 г белого мелкокристаллического продукта. Выход 68%, т. пл. 178–180°C, R_f 0.80 (этилацетат).

1-(Нафтален-1-ilметил)урацил (28). К раствору 2,4-бис(trimетилсилилокси)пиримидина, полученного из урацила (1.5 г, 13.38 ммоль), в безводном 1,2-дихлорэтане (50 мл) добавили 1-(бромметил)нафталин (8) (2.85 г, 13.50 ммоль). Полученную смесь кипятили с обратным ходильником с защитой от влаги воздуха в течение 36 ч. Реакционную массу охладили до комнатной температуры, обработали изопропанолом (10 мл), упарили при пониженном давлении на 2/3 объема и разбавили гексаном (20 мл). Выпавший осадок отфильтровали и перекристаллизовали из смеси ДМФА-вода (2:1). Получили 2.26 г мелкокристаллического продукта белого цвета. Выход 67%, т. пл. 266–268°C (262–266°C лит.²¹), R_f 0.44 (этилацетат).

3-[5-(4-Бромфенокси)пентил]-1-(нафтален-1-ilметил)урацил (27). Суспензию 1-(нафтален-1-ilметил)урацил (28) (0.5 г, 1.982 ммоль) и свежепрокаленного карбоната калия (0.5 г, 3.618 ммоль) перемешивали в растворе ДМФА (10 мл) при 80°C в течение 1 ч, добавили раствор 1-бром-4-[(5-бромпентил)окси]бензола (26) (0.64 г, 1.987 ммоль) и полученную смесь перемешивали при той же температуре в течение 24 ч. Реакционную массу упарили при пониженном давлении и остаток обработали водой (80 мл). Смесь экстрагировали 1,2-дихлорэтаном (4 × 20 мл), объединенный экстракт упарили при пониженном давлении. Остаток очищали фланш-хроматографией на силикагеле, элюируя смесью этилацетат-1,2-дихлорэтан (1:1), фракции, содержащие продукт, объединяли и упарили в вакууме. Остаток кристаллизовали из смеси этилацетат-гексан (1:1). Получили 0.83 г мелкокристаллического продукта белого цвета. Выход 85%, т. пл. 92.5–93.5°C, R_f 0.65 (этилацетат-1,2-дихлорэтан, 1:1).

Противовирусные исследования и оценка цитостатической активности

Соединения были оценены в отношении следующих вирусов: цитомегаловирус человека (HCMV,

штаммы AD-169 и Davis) и вирус ветряной оспы (VZV, штаммы ОКА и YS). Противовирусные исследования основывались на ингибировании цитопатического эффекта, вызванного вирусом или образования бляшек в культуре клеток легкого эмбриона человека (HEL) по опубликованной методике [21]. Исследования цитостатической активности также проводили методом, описанным ранее [21].

РЕЗУЛЬТАТЫ И ИХ ОБСУЖДЕНИЕ

Получение исходных 1-[ω -(4-бромфенокси)алкил]-производных урацила **1–6** было описано ранее [15]. Синтез 1-[5-(3-бромфенокси)ура-

цила (**7**) описан в работе Парамоновой и др. [21]. Получение целевых соединений нафтalenилметильного ряда заключалось в алкилировании 1-[ω -(фенокси)алкил]-производных урацила **1–7** 1-(бромметил)нафталином (**8**, R₃=H), 2-(бромметил)нафталином (**9**, R₃=H) или 1-бром-2-(бромметил)нафталином (**10**, R₃=Br) в ранее описанных условиях [18, 22]. В растворе ДМФА в присутствии K₂CO₃ образовывались соответствующие 1-[ω -(фенокси)алкил]-3-(нафтalen-1-илметил)-**11–14** или 3-(нафтalen-2-илметил)-производные урацила **18, 19** (схема 1), выход которых был в пределах 74–89%.

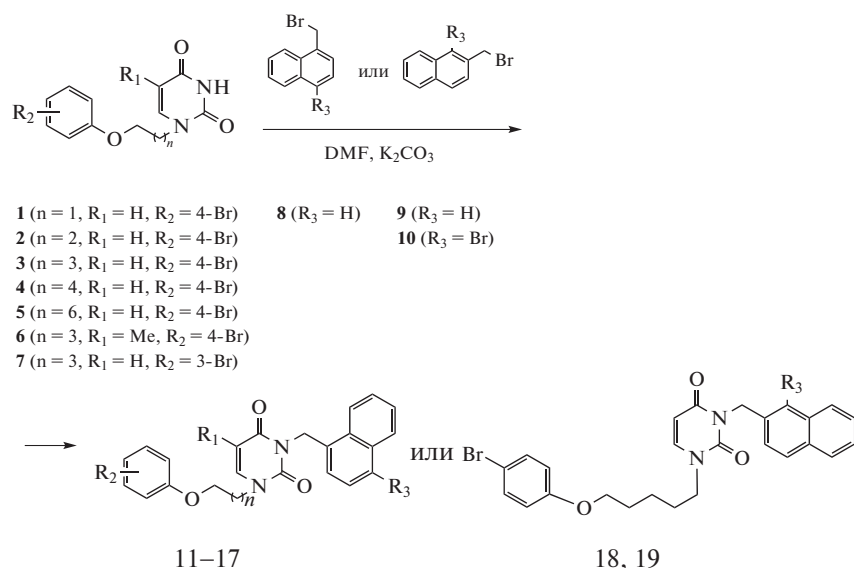


Схема 1

Для изучения закономерности структура-противовирусная активность был синтезирован ряд аналогов. В частности, путем обработки урацила **1** бензилхлоридом (**20**) или 9-(хлорметил)антраценом

(**21**) в растворе ДМФА в присутствии K₂CO₃ были получены 1-[5-(4-бромфенокси)пентил]-3-бензилурациль (**22**) и -(антрацен-9-илметил)урацилы (**23**), выход которых составил 81 и 79% (схема 2).

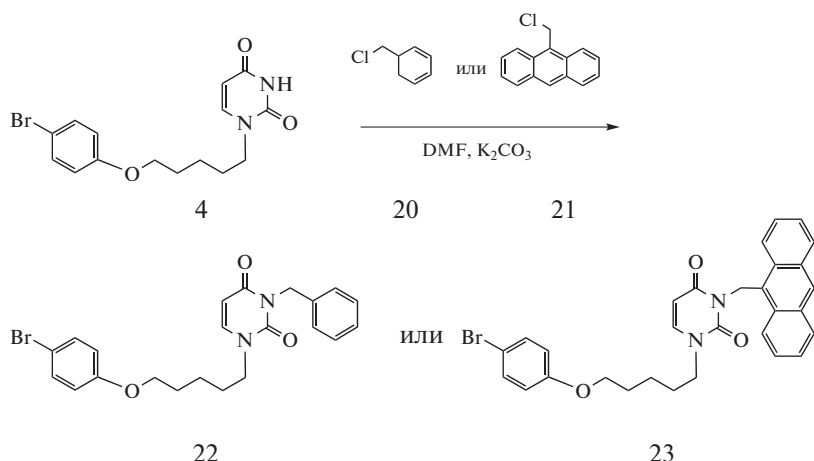


Схема 2

Еще одним аналогом явился 1-[5-(4-бромфенокси)пентил]-3-(нафтален-1-илметил)хиназолин-2,4(1*H*,3*H*)-дион (**24**). Исходный 1-[5-(4-бромфенокси)пентил] хиназолин-2,4(1*H*,3*H*)-дион (**25**) был получен путем алкилирования 4-х кратного мольного избытка хиназолин-2,4(1*H*,3*H*)-диона

1-бром-4-[(5-бромпентил)окси]бензола (**26**) в растворе ДМФА в присутствии K_2CO_3 . 1-Замещенный хиназолин-2,4(1*H*,3*H*)-дион (**25**) действием 1-(бромуэтил)нафталином (**8**) с выходом 77% превращали в целевое соединение **24** (схема 2).

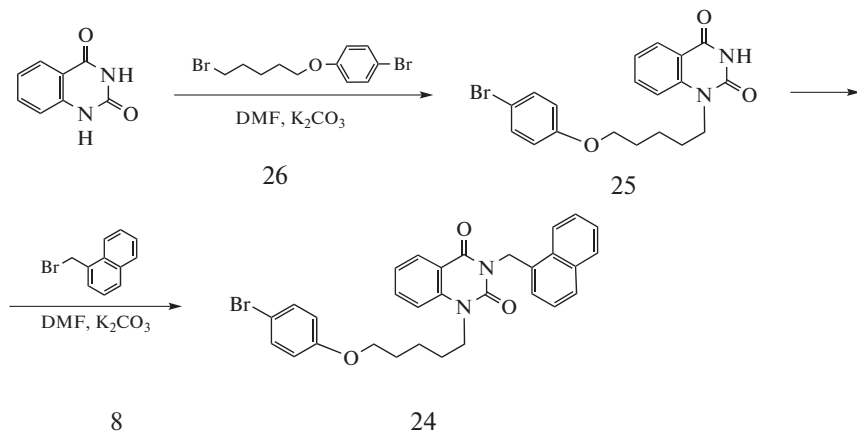


Схема 3

В заключение был получен изомер соединения **14** – 3-[5-(4-бромфенокси)пентил]-1-(нафтален-1-илметил)урацил (**27**). Его синтез включал стадию получения 1-(нафтален-1-илметил)урацила (**28**) путем конденсации 2,4-бис(trimетилсилилокси)пиридинина с 1-(бромуэтил)нафталином (**8**) при кипячении в растворе безводного 1,2-дихлорэтана. Урацил **28** в растворе ДМФА в присутствии K_2CO_3 обрабатывали 1-бром-4-[(5-бромпентил)окси]бензолом (**26**), что вело с выходом 85% к целевому соединению **27** (схема 4).

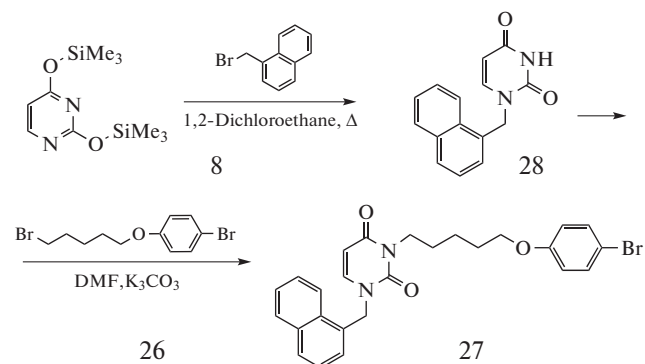


Схема 4

Активность соединений оценивали в отношении вируса герпеса простого типа 1, вируса герпеса простого типа 2, вируса ветряной оспы, вируса осповакцины, респираторно-синцитиального вируса, вируса везикулярного стоматита, вируса Коксаки B4, вируса парагриппа 3, вируса гриппа А (подтипы H1N1, H3N2), вируса гриппа B, реовируса-1, вируса Синдбис, вируса Пунта Торо, а

также в отношении HCMV (штаммы AD-169 и Davis).

Активность соединений **11–19**, **22–24** и **27** в отношении HCMV была изучена в культуре HEL-клеток. Результаты исследования представлены в табл. 1. Обнаружено, что соединение **13** проявило заметную анти-HCMV-активность: оно блокировало репликацию вируса в концентрации (EC_{50}) 2.19 μ M (штаммы AD-169 и Davis), что заметно превосходило действие ганцикловира и было сравнимо с действием цидофовира. Соединения **11** и **12**, имеющие короткий мостик, оказались менее эффективными ингибиторами репликации HCMV. Их EC_{50} было в пределах 8.94–10.94 μ M. В то же время удлинение мостика до шести и особенно до восьми метиленовых групп вело к увеличению цитотоксичности (соединения **14** и **15**). Перемещение атома брома в 4-бромфеноксильном фрагменте из *пара*-положения в *мета*-положение вело к полной потере противовирусной активности (соединение **16**). Тиминовый аналог соединения **13** (соединение **17**) оказался более чем на порядок менее активным (EC_{50} 44.72 и 48.9 μ M для штаммов AD-169 и Davis соответственно). Нафтален-2-ильный аналог **18** и его 1-бром-производное **19** не проявили какой-либо ингибиторной активности. По-видимому, пространственное положение нафталинового фрагмента играет важную роль в проявлении противовирусных свойств. Замена нафталинового фрагмента на бензильный дало соединение **22** с достаточно интересными свойствами, EC_{50} которого составила 10.9 μ M (штамм AD-169) и 15.3 μ M (штамм Davis).

Таблица 1. Анти-HCMV свойства 3-арилметил-1-[ω -(бромфенокси)алкил]-производных урацила **11–19, 22–24 и 27**

Соединение	<i>R</i> ₁	<i>R</i> ₂	<i>R</i> ₃	<i>n</i>	Противовирусная активность, EC ₅₀ (мкМ) ^a		Цитотоксичность (мкМ)	
					AD-169	Davis	Морфология клеток (MCC) ^b	Рост клеток (CC ₅₀) ^c
11	H	4-Br	H	1	9.78	10.94	100	>100
12	H	4-Br	H	2	8.94	8.94	100	10.82
13	H	4-Br	H	3	2.19	2.19	>100	75.7
14	H	4-Br	H	4	>4	8.94	20	—
15	H	4-Br	H	6	>0.8	1.79	4	—
16	H	3-Br	H	3	>20	>100	20	—
17	Me	4-Br	H	3	44.72	48.9	100	—
18	—	—	H	3	>4	>4	20	—
19	—	—	Br	3	>20	>20	100	—
22	—	—	—	—	10.9	15.3	100	>100
23	—	—	—	—	>4	>4	20	—
24	—	—	—	—	>100	>100	>100	—
27	—	—	—	—	36.57	44.72	>100	—
Ганцикловир	—	—	—	—	3.15	9.21	>350	>350
Цидофовир	—	—	—	—	1.49	1.49	>300	>300

^a Эффективная концентрация, необходимая для снижения образования бляшек вируса на 50%.

^b Минимальная цитотоксическая концентрация, которая вызывает микроскопически детектируемые изменения морфологии клеток.

^c Цитотоксическая концентрация, необходимая для снижения клеточного роста на 50%.

3-(Антрацен-9-илметил)-производное **23** оказалось полностью неактивным. Замена остатка урацила на хиназолин-2,4(1*H*,3*H*)-дионовый дало также неактивное соединение **24**. Региоизомер соединения **13**—3-[5-(4-бромфенокси)пентил]-1-(нафтален-1-илметил)урацил (соединение **27**) оказался более чем на порядок менее активным в отношении HCMV.

ЗАКЛЮЧЕНИЕ

Таким образом, нами обнаружен ряд высокоактивных анти-HCMV агентов, которые подавляли репликацию HCMV в концентрациях, превосходящих действие ганцикловира и сравнимых с действием цидофовира. Результаты данного исследования послужат основой для создания высокоэффективного лекарственного средства для лечения HCMV инфекций.

ИСТОЧНИКИ ФИНАНСИРОВАНИЯ

Работа выполнена в рамках государственного задания по теме “Производные нуклеиновых оснований как ингибиторы репликации SARS-CoV-2”. Биологическая часть работы поддержана KU Leuven.

СПИСОК ЛИТЕРАТУРЫ

1. Rodríguez-Goncer I., Fernández-Ruiz M., Aguado J.M. // Expert Rev. Anti. Infect. Ther. 2020. V. 18. P. 113–125.
2. Karrer U., Mekker A., Wanke K., Tchang V., Haeberli L. // Exp. Gerontol. 2009. V. 44. P. 689–694.
3. Jentzer A., Veyrad P., Roblin X., Saint-Sardos P., Rochereau N., Paul S., Bourlet T., Pozzetto B., Pillet S. // Microorganisms. 2020. V. 8. P. 1078.
4. Richardson A.K., Walker L.C., Cox B., Rollag H., Robinson B.A., Morrin H., Pearson J.F., Potter J.D., Patterson M., Surcel H.M., Pukkala E., Currie M.J. // Clin. Transl. Oncol. 2020. V. 22. P. 585–602.
5. Lv Y.L., Han F.F., An Z.L., Jia Y., Xuan L.L., Gong L.L., Zhang W., Ren L.L., Yang S., Liu H., Liu L.H. // Intervirology. 2020. V. 63. P. 10–16.
6. Plotkin S.A., Boppana S.B. // Vaccine. 2019. V. 37. P. 7437–7442.
7. Permar S.R., Schleiss M.R., Plotkin S.A. // J. Virol. 2018. V. 92. P. e00030–18.
8. Kotton C.N. // Curr Opin Organ Transplant. 2019. V. 24. P. 469–475.
9. Sellar R.S., Peggs K.S. // Expert Opin. Biol. Ther. 2012. V. 12. P. 1161–1172.
10. Faure E., Galperine T., Cannesson O., Alain S., Gremmi V., Goeminne C., Dewilde A., Béné J., Lasri M., Lessore de Sainte Foy C., Lionet A. // Medicine. 2016. V. 95. P. e5226.
11. Tan B.H. // Options Infect. Dis. 2014. V. 6. P. 256–270.

12. El Helou G., Razonable R.R. // Infect. Drug Resist. 2019. V. 12. P. 1481–1491.
13. Papanicolaou G.A., Silveira F.P., Langston A.A., Pereira M.R., Avery R.K., Uknis M., Wijatyk A., Wu J., Boeckx M., Marty F.M., Villano S. // Clin. Infect. Dis. 2019. V. 68. P. 1255–1264.
14. Piret J., Boivin G. // Antiviral Res. 2019. V. 163. P. 91–105.
15. Novikov M.S., Babkov D.A., Paramonova M.P., Khandazhinskaya A.L., Ozerov A.A., Chizhov A.O., Andrei G., Snoeck R., Balzarini J., Seley-Radtke K.L. // Bioorg. Med. Chem. 2013. V. 21. P. 4151–4157.
16. Babkov D.A., Khandazhinskaya A.L., Chizhov A.O., Andrei G., Snoeck R., Seley-Radtke K.L., Novikov M.S. // Bioorg. Med. Chem. 2015. V. 23. P. 7035–7044.
17. Maruyama T., Kozai S., Yamasaki T., Witvrouw M., Pannecouque C., Balzarini J., Snoeck R., Andrei G., De Clercq E. // Antivir. Chem. Chemother. 2003. V. 14. P. 271–279.
18. Maruyama T., Demizu Y., Kozai S., Witvrouw M., Pannecouque C., Balzarini J., Snoeck R., Andrei G., De Clercq E. // Nucleosides Nucleotides Nucleic Acids. 2007. V. 26. P. 1553–1558.
19. Novikov M.S., Valuev-Elliston V.T., Babkov D.A., Paramonova M.P., Ivanov A.V., Gavryushov S.A., Khandazhinskaya A.L., Kochetkov S.N., Pannecouque C., Andrei G., Snoeck R., Balzarini J., Seley-Radtke K.L. // Bioorg. Med. Chem. 2013. V. 21. P. 1150–1158.
20. Paramonova M.P., Khandazhinskaya A.L., Ozerov A.A., Kochetkov S.N., Snoeck R., Andrei G., Novikov M.S. // Acta Naturae. 2020. V. 12. P. 134–139.
21. Paramonova M.P., Snoeck R., Andrei G., Khandazhinskaya A.L., Novikov M.S. // Mendeleev Commun. 2020. V. 30. P. 602–603.
22. Baker B.R., Kelley J.L. // J. Med. Chem. 1970. V. 13. P. 458–461.

SYNTHESIS OF 1-[ω -(BROMOPHOXY)ALKYL]-3-NAPHTHALENYL METHYL DERIVATIVES OF URACIL AND THEIR ANALOGUES AS PROBABLE INHIBITORS OF HUMAN CYTOMEGALOVIRUS REPLICATION

M. P. Paramonova^a, E. S. Gureeva^a, A. A. Ozerova^a, R. Snoeck^b, G. Andrei^b, D. A. Alexandrov^c, A. L. Khandazhinskaya^{d, #}, M. S. Novikova^a, and academician of the RAS S. N. Kochetkov^d

^a Volgograd State Medical University, Volgograd, Russian Federation

^b Rega Institute for Medical Research, KU Leuven, Herestraat 49 bus 1043, Leuven B-3000, Belgium

^c Shemyakin-Ovchinnikov Institute of Bioorganic Chemistry of the Russian Academy of Sciences, Moscow, Russian Federation

^d V.A. Engelhardt Institute of Molecular Biology of the Russian Academy of Sciences, Moscow, Russian Federation

[#]e-mail: khandazhinskaya@bk.ru

A new series of 1-[ω -(bromophenoxy)alkyl]-uracil derivatives containing naphthalene-1-yl-, naphthalene-2-yl-, 1-brominaphthalene-2-ilmethyl, benzyl and anthracene-9-ilmethyl fragments in position 3 of uracil. Antiviral properties of synthesized compounds against human cytomegalovirus were studied. It was found that the compound, which has a bridge consisting of five methylene groups, has high anti-cytomegalovirus activity in vitro. uracil

Keywords: derivatives, synthesis, antiviral activity, human cytomegalovirus